

Efnasamsetning Þingvallavatns 2007 – 2014

RH-04-2015

Eydís Salome Eiríksdóttir og Sigurður Reynir Gíslason
Jarðvísindastofnun Háskólans, Sturlugötu 7, 101 Reykjavík.



Landsvirkjun

Júní 2015

EFNISYFIRLIT

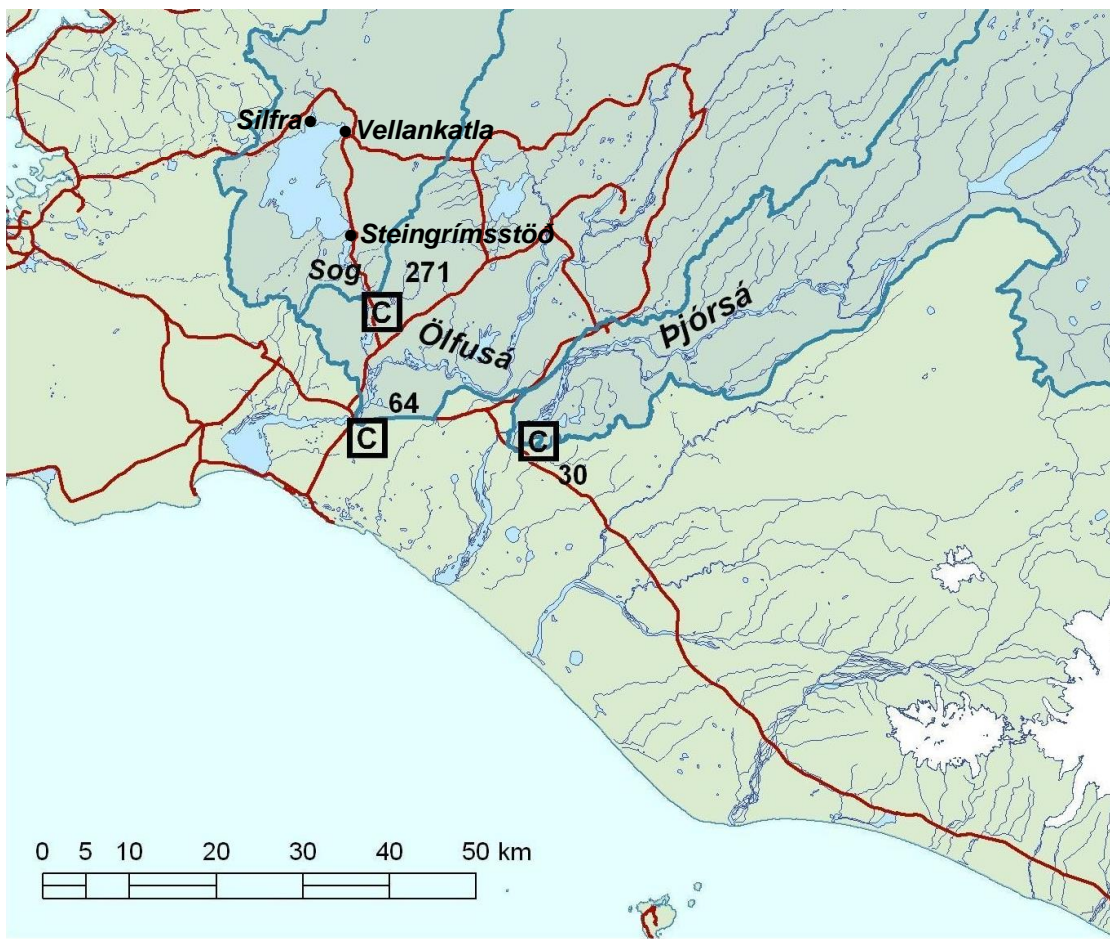
2. AÐFERÐIR	6
2.1 Sýnataka	6
2.2 Söfnun og meðhöndlun sýna.	8
2.3 Greiningar á uppleystum eftum og lífrænum svifaur.	9
3. NIÐURSTÖÐUR MÆLINGA	11
3.1 Styrkur uppleystra efna í Þingvallavatni	14
3.1.1 Aðalefni	14
3.1.2 Næringerarefni	15
3.1.3 Snefilefni	16
3.1.4 Miðfellsstraumurinn	16
3.1.5 Samanburður á útfalli Þingvallavatns og Sogi við Þrastarlund	19
3.2 Meðaltal uppleystra efna í innflæði og útflæði Þingvallavatns	19
3.3 Samanburður við eldri gögn.	22
4. ÞAKKARORÐ	23
HEIMILDIR	24
TÖFLUR OG MYNDIR	25

Töflur

Tafla 1. Meðalefnasamsetning linda og útrennsli Þingvallavatns 1998-2014	27
Tafla 2a Niðurstöður mælinga á sýnum úr innflæði og útrennsli Þingvallavatns.....	28
Tafla 2b Niðurstöður mælinga á sýnum úr innflæði og útrennsli Þingvallavatns.....	29
Tafla 3a Niðurstöður mælinga á sýnum úr Silfru, Vellankötlu og útfalli Þingvallavatns.....	30
Tafla 3b Niðurstöður mælinga á sýnum úr Silfru, Vellankötlu og útfalli Þingvallavatns.	31
Tafla 3b Næmi efnagreiningaraðferða og hlutfallsleg skekkja í mælingum.	40

Myndir

Mynd 1. Staðsetningar söfnunarstaða á Þingvallasvæðinu	4
Mynd 2. Söfnun úr Silfru	7
Mynd 3. Söfnun úr Vellankötlu	7
Mynd 3.1. Hlutföll fosfórs og niturs í inn- og útflæði Þingvallavatns	15
Mynd 3.2. Söfnunarstaðir á Miðfellssvæðinu	17
Mynd 3.3 Efnahlutföll í Miðfellsstraumi miðað við aðra söfnunarstaði á Þingvöllum	18
Mynd 4. Árstíðabundnar breytingar á efnapháttum í írennsli og útfalli Þingvallavatns	32
Mynd 5. Árstíðabundnar breytingar á efnapháttum í írennsli og útfalli Þingvallavatns	33
Mynd 6. Árstíðabundnar breytingar á efnapháttum í útfalli Þingvallavatns og Sogi.....	34
Mynd 7. Árstíðabundnar breytingar á efnapháttum í útfalli Þingvallavatns og Sogi.....	35
Mynd 8. Meðalstyrkur uppleystra efna í írennsli og útfalli Þingvallavatns.....	36
Mynd 9. Meðalstyrkur uppleystra efna í írennsli og útfalli Þingvallavatns.....	37
Mynd 10. Meðalstyrkur uppleystra efna í írennsli og útfalli Þingvallavatns.....	38
Mynd 11. Samanburður við eldri gögn úr Þingvallavatni	39



Mynd 1. Staðsetningar sýnatökustaða á Suðurlandi. Hluti vatnasviða Sogs, Ölfusár og Þjórsár er skyggður

1. INNGANGUR

Vorið 2007 gerðu Umhverfisstofnun, Landsvirkjun, Orkuveita Reykjavíkur og Þjóðgarðurinn á Þingvöllum með sér samkomulag og samstarfssamning um vöktun á lífríki og vatnsgæðum Þingvallavatns. Vöktuninni er skipt í þrjá meginverkþætti og um hvern verkþátt sér framkvæmdaraðili í samræmi við þar að lútandi samning. Verkþættir og framkvæmdaraðilar voru eftirfarandi: 1. Efna- og eðlisþættir í írennsli og útfalli, Jarðvísindastofnun Háskólans, 2. Lífríkis- og efna- og eðlisþættir í vatnsbol, Náttúrufræðistofa Kópavogs og 3. Fiskistofnar, Veiðimálastofnun.

Írennsli til Þingvallavatns er um $100 \text{ m}^3/\text{s}$ og samkvæmt Árnýju E. Sveinbjörnsdóttur og Sigfúsi J. Johnsen (1992) er um 90% upprunnið í lindum sem falla í norðanvert vatnið. Samkvæmt Hákonni Aðalsteinssyni og félögum (1992) er um 64% af vatninu sem fellur í Þingvallavatn komið úr Silfru og um 20% úr Vellankötlu og öðrum lindum í Vatnsviki, Davíðsgjá og Ólafsdrætti. Freysteinn Sigurðsson og Guttormur Sigbjarnason (2002) telja hins vegar að lindarvatnið skiptist í þrjá meginstrauma; Almannagjárstrauum, með um $30 \text{ m}^3/\text{s}$, Hrafnagjárstrauum, um $20 \text{ m}^3/\text{s}$ af heildarrennslinu og Miðfellsstrauum, um $25 \text{ m}^3/\text{s}$ heildarrennslis. Samkvæmt Freysteini og Guttormi er vatn í Silfru ættað frá Almannagjárstrauum og er talið að það sé að þriðjungi jökulvatn frá Langjökli. Í Vellankötlu kemur upp vatn frá Hrafnagjárstrauum sem er talið vera allt að helmingur jökulvatn frá Langjökli. Miðfellsstrauumurinn kemur frá Skriðu og rennur á milli Kálfstinda og og Hrafnabjarga, er heldur hlýrra en Hrafnagjárstrauumurinn. Efnastyrkur í þeim strauumi hefur lítið verið kannaður (Freysteinn Sigurðsson og Guttormur Sigbjarnason, 2002).

Vatnssýnum hefur verið safnað 31 sinnum úr Þingvallavatni við Steingrímsstöð og átta sinnum úr lindunum Silfru og Vellankötlu á tímabilinu. Tveimur sýnum var safnað úr Miðfellsstrauumi á árinu 2015 sem er með í þessari samantekt. Í þessari skýrslu er gert grein fyrir aðferðum og niðurstöðum mælinga sem fram hafa farið í írennsli og útfalli Þingvallavatns á árunum 2007 til 2014. (Töflur 1 og 2).

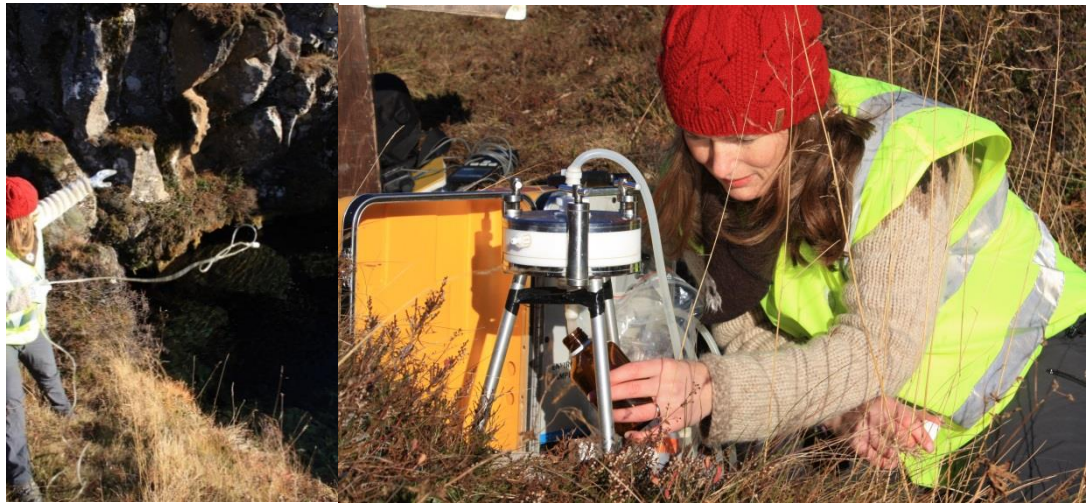
2. AÐFERÐIR

2.1 Sýnataka

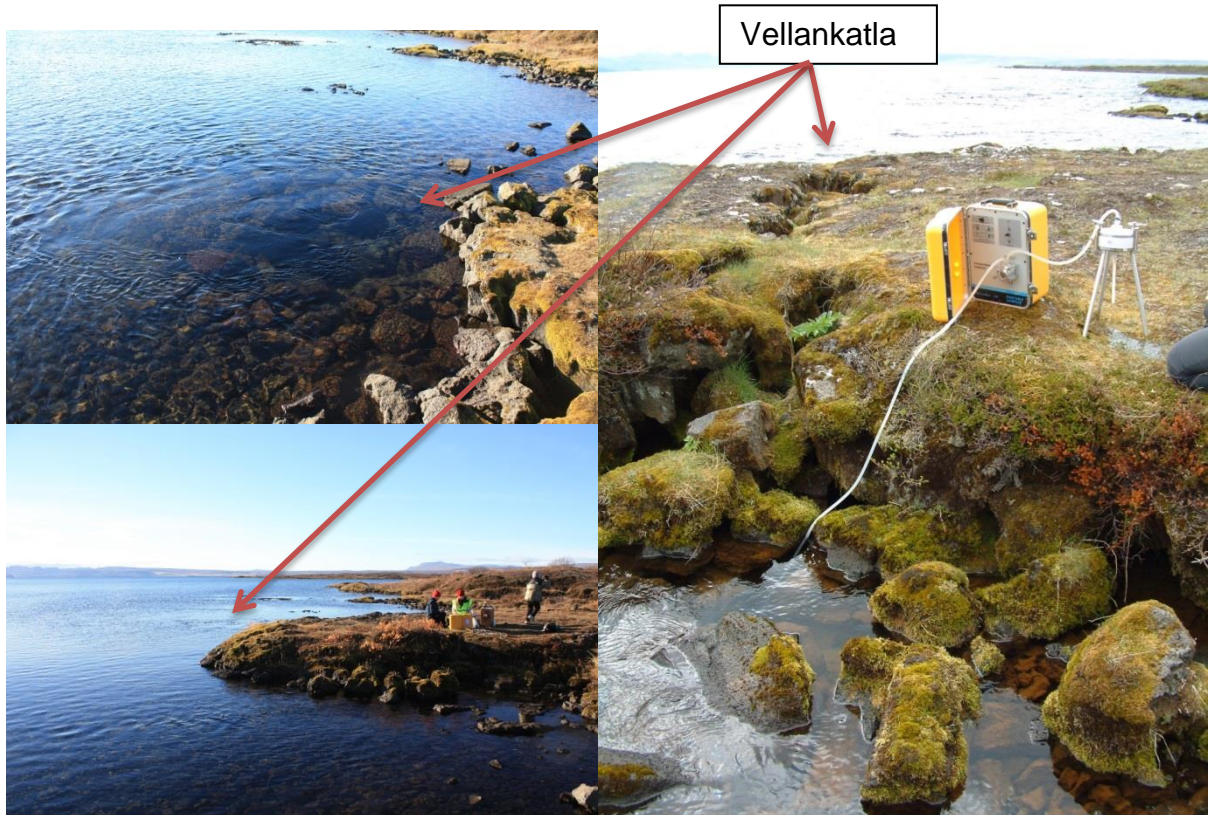
Sýni til rannsókna á uppleystum efnum voru tekin úr Þingvallavatni af stíflu við Steingrímsstöð og úr lindunum Silfru og Vellankötlu. Sýnum úr Þingvallavatni var safnað með 5 lítra Niskin safnara og var safnað á um eins metra dýpi. Sýnunum var safnað eftir að vatn hafði runnið í nokkurn tíma í gegn um safnarann til hreinsunar. Sýnin voru svo geymd í safnaranum, sem er loftþéttur og ógegnsær, á meðan keyrt var að Þrastarlundi. Þar voru sýnin meðhöndluð eins og lýst verður síðar.

Sýnum úr Silfru og Vellankötlu var dælt beint úr lindunum af um hálfs til eins metra dýpi, í gegnum síur og í sýnaflöskur eins og lýst er í næsta kafla. Reyndar var ekki tekið beint úr Vellankötlu, heldur úr sprungu í klöpp, þeirri sömu og Vellankatla streymir upp um á nokkru dýpi í Þingvallavatni. Það var gert til að forðast áhrif frá efnasamsetningu stöðuvatnsins.

Svífaurssýni til mælinga á lífrænum ögnum (POC) sem safnað var úr Þingvallavatni við Steingrímsstöð var tekið með með handsýnataka (DH48) sem festur var á stöng og látiinn síga um 1,5 m ofan í vatnið og upp aftur. Sýninu var safnað í sýruþvegnar aurburðarflöskur sem höfðu verið þvegnar í 4 klst. í 1 N HCl sýru fyrir sýnatöku. Flöskurnar voru merktar að utan, en ekki með pappírsmerki inni í flöskuhálsinum eins og tíðkast fyrir ólífraenar aurburð. Sýnum til mælinga á lífrænum ögnum var ekki safnað úr lindunum.



Mynd 2. Við söfnun úr Silfru. Sýni er dælt beint úr lindinni í gegn um síu í söfnunarflöskurnar.



Mynd 3. Sýnasöfnun úr Vellankötlu fór fram í sprungu sem tengd er við Vellankötlu til að forðast blöndun úr Þingvallavatni.

2.2 Söfnun og meðhöndlun sýna.

Áður en sýni frá Steingrímsstöð voru meðhöndluð var ekið að Þrastarlundi, í um 20 –30 mínútur. Á meðan var sýnið geymt í loftþéttum sýnataka / vel þéttum brúsa fullum af vatni, til að hindra samskipti vatns og andrúmslofts. Vatnið var svo síða í gegnum 142 mm sellulósa asetat-síu með $0,2 \mu\text{m}$ porustærð. Peristaltik dæla með sílikon slöngum var notuð til að dæla sýninu í gegn um Sartorius® („in line pressure filter holder, SM16540“) teflon síuhaldara. Búnaðurinn var lofttæmdur og þveginn með a.m.k. einum lítra af árvatni áður en söfnun sýnis hófst. Sýnaflökurnar voru allar þvegnar þrisvar sinnum með síuðu árvatni áður en sýninu var safnað.

Öll sýni til mælinga á uppleystum efnum voru síuð og var sýnasöfnunin framkvæmd á eftirfarandi hátt:

1. Sýnum til mælinga á reikulum efnum (pH, leiðni og basavirkni) var safnað í tvær dökkar glerflöskur, 275 ml og 60 ml.
2. Sýnum til mælinga á brennisteinssamsætum var safnað í 1000 ml HDPE flösku.
3. Sýnum til mælinga á anjónum var safnað í 200 ml HDPE plastflösku.
4. Sýnum til mælinga á katjónum og snefilefnum var safnað í tvær 125 ml HDPE sýruþvegnar flöskur. Pessar flöskur voru sýruþvegnar af rannsóknaraðilanum ALS Scandinavia, sem annaðist greiningar á þessum efnum. Að síun lokinni var einum millilíter af fullsterkri hreinsaðri saltþéturssýru bætt út í sýnin.
5. Sýnum til mælinga á næringarsöltunum NO_3 , NO_2 , NH_4 , PO_4 var safnað á fjórar sýruþvegnar 20 ml HDPE flöskur. Sýnin voru geymd í kæli á meðan leiðangri stóð og fryst í lok hvers leiðangurs.
6. Sýnum til mælinga heildarmagni köfnunarefnis (N-total) var safnað í sýruþvegna 100 ml flösku. Sýnin voru geymd í kæli á meðan leiðangri stóð og fryst í lok hvers leiðangurs.
7. Sýnum til mælinga á upplestu lífrænu kolefni (DOC) var síða í 30 ml sýruþvegna polycarbonate flösku. Flöskurnar voru sýruþvegnar í a.m.k. 4 klst fyrir söfnun. Þessi sýni voru sýrð með 0,4 ml af 1,2 N HCl og geymd í kæli þar til þau voru send til Svíþjóðar þar sem þau voru greind.

2.3 Greiningar á uppleystum efnum og lífrænum svifa.

Efnagreiningar voru gerðar á Jarðvísindastofnun, ALS Scandinavia í Luleå í Svíþjóð, Umeå Marine Sciences Center í Umeå í Svíþjóð og við Stokkhólmsháskóla.

Basavirkni („alkalinity“), leiðni og pH var mælt með titrun, rafskauti og leiðnimæli á Raunvísindastofnun að loknum sýnatökuleiðangri. Endapunktur titrunar var ákvarðaður með Gran-falli (Stumm og Morgan, 1996).

Aðalefni og snefilefni voru mæld af ALS Scandinavia með ICP-AES (Inductively coupled plasma with atomic emission spectroscopy), ICP-MS (Mass Spectrometry with Inductively Coupled Plasma) og atómljómum; AF (Atomic Fluorescence). Kalíum (K) var greint með ICP-AES en styrkur þess var stundum undir greiningarmörkum á ICP-AES og voru þau sýni mæld með katjónaskilju Jarðvísindastofnunar.

Styrkur flúors, klórs og súlfats var mældur með anjónaskilju á Jarðvísindastofnun á rannsóknartímabilinu. Alþjóðlegu staðlarnir BIGMOOSE-02 og MAURI 09 hafa verið notaður til kvörðunar á greiningunum síðan árið 2011.

Frá 2007 – 2012 var styrkur PO₄ greindur með jónaskilju og frá 2009 til 2012 var styrkur NO₃ og N_{total} einnig greindur með jónaskilju. Árið 2013 var farið að nota sjálfvirkan litrófsmæli á Jarðvísindastofnun („autoanalyzer“) til greininga þessara efna eftir yfirhalningu á litrófsmælinum, þar sem þær mælingar eru næmari. Næringarsöltin NO₂, og NH₄ voru efnagreind á „autoanalyzer“.

Heildarmagn uppleysts kolefnis (DOC) og lífræns aurburðar (POC og PON) var mælt hjá Umeå Marine Sciences Center í Umeå í Svíþjóð þegar búið var að sía POC og PON sýni í gegnum glersíur. Áður höfðu glersíurnar verið hreinsaðar sérstaklega í 450° C í brennsluofni til að brenna af allt lífrænt efni af sínum. POC og PON sýnin voru greind við 1030° C á „Carlo Erba model 1108 high temperature combustion elemental analyzer“ sem staðlað var með acetanilide. DOC sýnin voru greind á „Shimadzu TOC-L high temperature catalytic oxidation instrument“ sem var staðlað með potassium hydrogen phthalate.

Sýni til mælinga á brennisteinssamsætum voru látin seytla í gegnum jónaskiptasúlur með sterku “anjóna-jónaskiptaresini”.

Sýnaflöskur voru vigtaðar fyrir og eftir jónaskipti til þess að hægt væri að leggja mat á heildarmagn brennisteins í jónaskiptaefni. Þegar allt sýnið hafði seytlað í gegn og loft komist í jónaskiptasúlurnar var þeim lokað og þær sendar til Stokkhólms til samsætumælinga. Loftið var látið komast inn í súlurnar til þess að tryggja að nægt súrefni væri í þeim svo að allur brennisteinn héldist á formi súlfats (SO_4). Brennisteinssamsætur hafa ekki verið mældar frá árinu 2009.

3. NIÐURSTÖÐUR MÆLINGA

Niðurstöður mælinga sem búið er að framkvæma eru sýndar í Töflum 1 – 3 og á myndum 4 – 11. Meðaltal mælinga fyrir vatnsföllin er sýnt í Töflu 1 og niðurstöður mælinga á einstökum sýnum í Töflu 2a og 2b. Niðurstöður um styrk uppleystra efna eru í tímaröð á myndum 4 – 5. Meðalstyrkur uppleystra efna í Silfru, Vellankötlu, Þingvallavatni við Steingrímsstöð og úr Sogi við Prastarlund (Eydís Salome Eiríksdóttir o.fl. 2014) er svo sýndur á myndum 6 – 8 með 95% öryggismörkum. Það er gott til að átta sig á mismun á innstreymi og útrennsli Þingvallavatns. Niðurstöður úr Sogi eru hafðar til viðmiðunar til að hægt sé að átta sig á hugsanlegum breytingum á efnasamsetningu vatnsins á leið frá Þingvallavatni að Prastarlundi.

Styrkur uppleystra efna er gefinn í míkrómólum í lítra vatns (mmól/l) eða nanómól í lítra vatns (nmól/l. Basavirkni eða „alkalinity“ (skammstöfuð Alk í töflum 1, 3, - 7), er gefin upp sem „míkróequivalent“ í kílógrammi vatns, sem jafngildir efnahleðslu. Styrkur lífrænna agna í árvatninu er gefinn í milligrömmum í lítra (mg/l). Í eldri skýrslum eru aðalefnin gefin upp í millimólum í kílói vatns en ákveðið var að breyta um einingu þar sem erfitt er að sjá fyrir sér svo lágar stærðir, en styrktölur í millimólu eru 1000 sinnum lægri en ef þær eru gefnar upp í míkrómólum. Til að breyta mólum í grömm þarf að margfalda með mólmassa efnnanna sem um er að ræða.

Leiðni og pH vatns er hitastigsháð, þess vegna er getið um hitastig vatnsins þegar leiðni og pH voru mæld á rannsóknarstofu (Tafla 2).

Basavirkni (Alkalinity, skammstafað Alk í töflum í skýrslunni) í vatni ræðst að mestu leyti á magni uppleysts ólífræns kolefnis, og er óbein mælinga á því hve mikil efnaskipti hafa orðið á milli vatns og bergs. Basavirkni er einnig mælikvarði á það hve mikla sýringu þarf til að brjóta niður „búffer“ eiginleika vatnsins. Kolefni í andrúmslofti leysist upp í yfirborðsvatni og myndar anjónina bíkarbonat (HCO_3^-) sem er sú anjón sem er í mestum styrk í fersku yfirborðsvatni. Bíkarbonat er veik sýra sem hvarfast við berggrunninn og leysir út þær jónir sem eru leysanlegastar á hverjum tíma. Þær jónir fara í upplausn í vatnið og berast með því af veðrunarstaðnum. Bíkarbonat er sú anjón sem er í mestum styrk í fersku yfirborðsvatni og er yfirleitt reiknuð út frá basavirkni eins og útskýrt er hér að neðan (jafna 1).

Heildarmagn uppleysts ólífræns kolefnis (Dissolved Inorganic Carbon, DIC) er gefið sem millimól C í hverju kg vatns. Það er reiknað er samkvæmt eftirfarandi jöfnu út frá mælingum á pH, hitastigi sem pH-mælingin var gerð við, basavirkni og styrk kísils. Gert er ráð fyrir að virkni („activity“) og efnastyrkur („concentration“) sé eitt og hið sama.

$$DIC = 1000 \frac{\left(Alk - \frac{K_w}{10^{-pH}} - \frac{Si_T}{\left(\frac{10^{-pH}}{K_{Si}} + 1 \right)} + 10^{-pH} \right)}{\left(\left(\frac{10^{-pH}}{K_1} + 1 + \frac{K_2}{10^{-pH}} \right)^{-1} + 2 \left(\frac{(10^{-pH})^2}{K_1 K_2} + \frac{10^{-pH}}{K_2} + 1 \right)^{-1} \right)} \quad (1)$$

K_1 er hitastigsháður kleyfnistuðull kolsýru (Plummer og Busenberg 1982), K_2 er hitastigsháður kleyfnistuðull bíkarbónats (Plummer og Busenberg 1982), K_{Si} er hitastigsháður kleyfnistuðull kísilsýru (Stefán Arnórsson o.fl. 1982), K_w er hitastigsháður kleyfnistuðull vatns (Sweeton o.fl. 1974) og Si_T er mældur styrkur Si (Tafla 2). Allar styrktölur eru í mólum á lítra nema „alkalinity“ sem er í „equivalentum“ á lítra. Pessi jafna gildir svo lengi sem pH vatnsins er lægra en 9 og heildarstyrkur uppleystra efna (TDS) er minni en u.p.b. 100 mg/l. Íð hærra pH þarf að taka tillit til fleiri efnasambanda við reikningana og við mikinn heildarstyrk þarf að nota virknistuðla til að leiðréttu fyrir mismun á virkni og efnastyrk.

Heildarmagn uppleystra efna (TDS: „total dissolved solids“) er samanlagður styrkur uppleystra aðalefna í milligrömmum í lítra vatns (mg/l) reiknaður á eftirfarandi hátt;

$$TDS_{reiknað} = Na + K + Ca + Mg + SiO_2 + Cl + SO_4 + CO_3 \quad (2)$$

Heildarmagn uppleysts ólífræns kolefnis sem gefið er í millimólum DIC í hverjum lítra vatns í Töflum 1 og 2 er umreiknað í karbónat (CO_3) í jöfnu 2. Það er gert til þess að $TDS_{reiknað}$ og $TDS_{mælt}$ sé sambærilegt. Mæling á heildarmagni uppleystra efna ($TDS_{mælt}$) er mælt eftir síun í gegnum 0,45 µm porur með því að láta ákveðið magn sýnis gufa upp. Við það breytist uppleyst ólífrænt kolefni að mestu í karbónat áður en það fellur út sem kalsít ($CaCO_3$) og loks sem tróna ($Na_2CO_3NaHHCO_3$). Áður en að útfellingu trónu kemur tapast yfirleitt töluvert af CO_2 úr vatninu til andrúmslofts (Eugster 1970, Jones o.fl. 1977 og Hardy og Eugster 1970).

Kísill (SiO_2) var endurmældur í sýnum frá 2007 til 2012. Það vöknudu grunsemdir um að kísilstyrkurinn gæti verið of hár í sumum tilfellum og því var farið í þessar

endurmælingar. Niðurstaðan er að endurmælingarnar á styrk kísils voru sambærilegar (<10%) við eldri mælingar í Þingvallavatni, ólíkt því sem var t.d. í Soginu, en nýju mælingarnar eru notaðar engu að síður og eru skáletraðar í töflum 2a og 3a. Þó lítt munur hafi verið á mælingunum sýna nýju gögnin fram á það að kísilstyrkur í Þingvallavatni við Steingrímsstöð hefur verið að lækka smám saman, úr 0,20 í 0,17 µmól/kg frá 2007 – 2014. Styrklækkun má sjá í fosförstyrk. Árið 2005 – 2006 var nýr massagreinir tekinn í notkun hjá ALS, sem sér um efnagreiningarnar á þessum sýnum, sem virðist hafa gefið of há gildi fyrir kísil. Prátt fyrir það var þessu ekki veitt eftirtekt innan ALS þar sem gæðastaðallinn sem notaður er hjá ALS var alltaf innan við þau 10% sem þeir gefa sér. Nú hefur verið skipt um tæki og eftir það hefur styrkur kísils í gæðastaðlinum lækkað aftur, til samræmis sem hann var áður.

Næmi efnagreiningaraðferða er sýnt í Töflu 4. Þegar styrkur efna mælist minni en næmi efnagreiningaraðferðarinnar er hann skráður sem minni en (<) næmið (Tafla 4). Þessar tölur eru teknar með í meðaltalsreikninga, en meðaltalið er þá gefið upp sem minna en (<) tölugildi meðaltalsins. Öll sýni eru tvímæld á Jarðvísindastofnun. Meðalsamkvæmni milli mælinga er gefin í Töflu 4 sem hlutfallsleg skekkja milli mælinganna. Hún er breytileg milli mælinga og eftir styrk efnanna. Hún er hlutfallslega meiri fyrir lágan efnastyrk en háan. Styrkur næringarsalta er oft við greiningarmörk efnagreiningaraðferðanna. Af þessum sökum er skekkja mjög breytileg eftir styrk efnanna.

Hægt er að leggja mat á gæði mælinga á aðalefnum eða hvort mælingar vanti á aðalefnum eða ráðandi efnasamböndum með því að skoða hleðslujafnvægi í lausn (Tafla 2). Ef öll höfuðefni og ríkjandi efnasambönd eru greind og styrkur þeirra er réttur er styrkur neikvætt hlaðinna efnasambanda og jákvætt hlaðinna efnasambanda jafn. Hleðslujafnvægið (katjónir – anjónir) er reiknað með jöfnu (3) og mismunurinn sem hlutfallsleg skekkja með jöfnu (4).

$$Hleðslujafnvægi = (Na + K + 2 * Ca + 2 * Mg) - (Alk + Cl + 2 * SO_4 + F) \quad (3)$$

$$Mismunur (\%) = \frac{Hleðslujafnvægi}{(katjónir+anjónir)} * 100 \quad (4)$$

Niðurstöður þessara reikninga eru sýndar í Töflu 2. Mismunurinn er lítt, að meðaltali 1,4%, sem verður að teljast gott þar sem skekkja milli einstakra mælinga er oftast yfir 3%.

3.1 Styrkur uppleystra efna í Þingvallavatni

3.1.1 Aðalefni

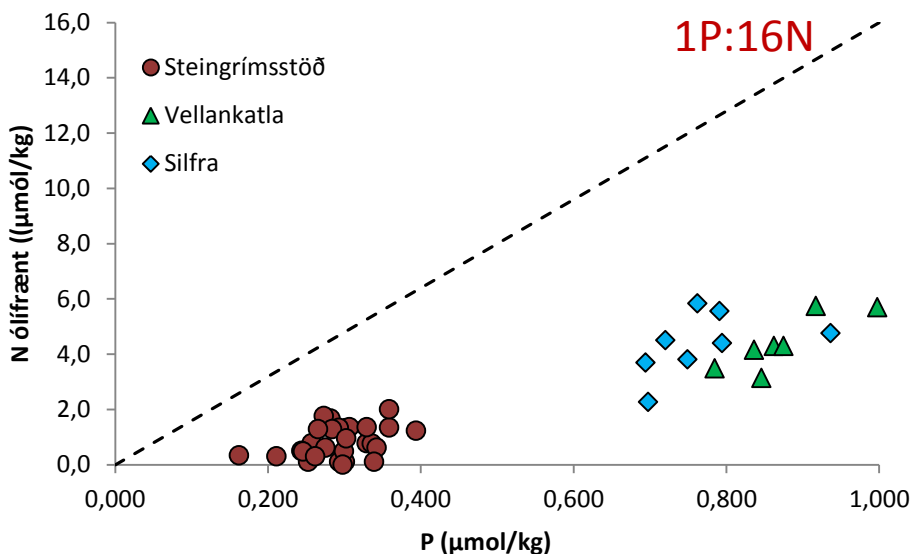
Sýnum úr lindunum Silfru og Vellankötlu hefur yfirleitt verið safnað seinnipart árs og hefur styrkur uppleystra efna verið mjög stöðugur fyrir utan eitt sýni sem safnað var í leysingum vorið 2014 (mynd 4). Það sýni var með mjög lága basavirkni (alkalinity) og styrk Cl, SO₄ og F. Önnur efni voru sambærileg við eldri sýni. Það veldur því að hleðslujafnvægi í þessum tveimur sýnum er lélegt, en alkalinity var svo lágt að það var nánast ógerningur að mæla það. Líklegast stafar þetta af því að leysingavatn, sem er með mjög lágt alkalinity, seytlar niður í sprungur á svæðinu og hefur áhrif á lindarvatnið. Skrítið er þó að það hafi ekki áhrif á styrk fleiri efna en Cl, SO₄ og F. Og þrátt fyrir lækkun í alkalinity og anjónastyrk er hækjun í leiðni. Það er öfugt við það sem vænta mætti. Rannsókn á súrefnis- og vettissamsætum hefur leitt í ljós að 9% af vatninu sem streymir fram í Vellankötlu er yfirborðsvatn og 25% vatnsins í Silfru (Árný E. Sveinbjörnsdóttir og Sigfús J. Johnsen, 1992). Styrkur uppleystra aðalefna var yfirleitt lægri í Vellankötlu (TDS = 48 mg/l) en í Silfru (TDS = 60 mg/l), nema styrkur kísils (SiO₂) sem var eins á báðum stöðum. Einnig voru gildi pH og alkalinity lægri í Vellankötlu.

Styrkur uppleystra aðalefna breytist lítið í útfallinu við Steingrímsstöð. Það var helst pH gildið sem var breytilegt en það sveiflaðist frá 7,5 til um 8 og var hærra á sumrin en á veturna (mynd 4). Þó eru tvö efni sem hafa verið að lækka frá 2007 til 2013 og það eru næringarefnin SiO₂ og P. Endurmælingar á kísli, eins og sagt er frá hér framar í kaflanum, sýna svo ekki verður um villst að styrkur SiO₂ í útfallinu hefur lækkað um 13% á tímabilinu. Sambærileg lækkun er í styrk Ptotal sem hefur lækkað um 54%. Þessi efni eru mikilvæg lífríkinu og styrkur þeirra í vatninu lækkar eftir því sem lífvirkni eykst. Styrkur SiO₂ var að meðaltali 33% lægri við Steingrímsstöð en í lindunum sem stafar af lífupptökum á efni.

Styrkur SO₄, Mg og Cl var hærri í útfalli við Steingrímsstöð en í lindunum, en þessi efni eru úrkomuættuð og falla því á vatnasviðið. Þar að auki er SO₄ jarðhitaættað og ákoma þess á vatnasviðið er því af blönduðum uppruna. Styrkur annarra aðalefna féll saman við styrk þeirra í Silfru, þaðan sem meginhluti vatnsins í Þingvallavatni er upprunninn (Hákon Aðalsteinsson, 1992).

3.1.2 Næringarefni

Niðurstöður úr mælingum á næringarefnum má sjá í töflum 2b og 3b og á mynd 4. Pörungar í vatninu eru þurftarfrekari á nitursambönd (köfnunarefni, N) en á fosfór (PO_4) og þurfa P/N í móhlutföllunum 1/16. Móhlutfall fosfórs og niturs (P/N) er lægra en 1/16 í innflæði og útflæði Þingvallavatns (mynd 3.1) sem þýðir að N er takmarkandi fyrir vöxt ljóstillífandi lífvera, líkt og þekkist um næringarefnabúskap í gosbeltinu, þar sem fosfór leystist úr bergi en nitur berst inn á vatnasviðin með úrkomu. Þetta veldur því að nitur (aðallega NO_3) gengur til þurrðar í vatninu vegna næringarefnanáms, og eins og sést í fyrirliggjandi gögnum lækkar styrkur niturs mikið í vatninu frá því að lindarvatnið streymir inn þar til vatnið fellur út við Steingrímsstöð, á meðan styrkur fosfórs lækkar mun minna. Meðalstyrkur ólifrænna köfnunarefnissambanda (DIN) var 80% lægri í útfallinu við Steingrímsstöð en í lindunum (tafla 1).



Mynd 3.1. Hlutföll fosfórs og niturs (köfnunarefnis) í inn- og útflæði Þingvallavatns eru lægri en ljóstillífandi lífverur þurfa til viðhalds. Aukning á N myndi valda aukinni þörungavirkni í vatninu.

Styrkur PO_4 í lindunum var frá 0,7 til 1 $\mu\text{mól/kg}$ og ~0,2 til 0,4 $\mu\text{mól/kg}$. Styrkur NO_3 í lindunum var frá 2,2 til 4,86 $\mu\text{mol/l}$. Niturstyrkurinn þyrfti að hækka fjórfalt til að falla á línuna á mynd 3.1 og enn frekari aukning myndi valda því að fosfór yrði takmarkandi fyrir frumframleiðendur í vatninu. Árlegur meðalstyrkur NO_3 (2008 – 2012) í úrkomu sem fellur á Mjóanesi er 8,64 $\mu\text{mol/l}$ og meðalstyrkur NH_4 (2009 – 2012) var 22 $\mu\text{mól/kg}$. Bein ákoma köfnunarefnis á vatnið er um 18 tonn/ári þar af 5,6 tonn/ári af NO_3 og 12 tonn/ári af NH_4 (Eyðís Salome Eiríksdóttir og Árni Sigurðsson, 2014).

3.1.3 Snefilefni

Styrkur snefilefna breyttist óreglulega yfir árið við Steingrímsstöð (töflur 2b og 3b og mynd 5). Ekki var að sjá neina árstíðabundna sveiflu nema helst í styrk Fe og Mn, sem hækkaði yfir sumarið, þegar pH-gildi vatnsins var hæst. Styrkur snefilefnanna Fe, Mn, Sr, Cu, Zn, Mo og Ti var hærri í útfallinu við Steingrímsstöð en í lindunum, en styrkur Al og V var lægri. Styrkur Ba var hærri í útfallinu framan af en hefur er oftast undir greiningarmörkum eftir 2011. Styrkur Ni og Pb við Steingrímsstöð féll saman við styrk þeirra í lindunum. Arsen (As) var oftast undir greiningarmörkum í Vellankötlu, oftast mælanlegur í Silfru og ofan greiningarmarka í 20 sýnum af 31 í útfalli Þingvallavatns. Styrkur As var svipaður í útfallinu og í Silfru nema í örfáum sýnum. Styrkur B var svipaður í Silfru og útfallinu við Steingrímsstöð en hann var lægri í Vellankötlu. Styrkur Cr var svipaður í Vellankötlu og við Steingrímsstöð en mun hærri í Silfru. Styrkur Co, Hg og Cd var yfirleitt undir greiningarmörkum aðferðarinnar.

Hlutfall hreyfanlegu efnanna Cl og B getur hjálpað til við að rekja uppruna vatns (Stefán Arnórsson og Auður Andrésdóttir, 1995). Hlutfallið er svipað í Silfru og í útfallinu við Steingrímsstöð en lægra í Vellankötlu. Það kemur heim og saman við mat á rennsli skv. Hákoní Aðalsteinssyni en síður við mat Freysteins Sigurðssonar og Guttorms Sigurbjarnarsonar (2002).

3.1.4 Miðfellsstraumurinn

Tveimur sýnum var safnað úr Miðfellsstraumi, suðvestan og sunnan Miðfells (sýni 15H007 64°10'183" 21°04'04,0" og sýni 15H008 64°09'53,9" 21°03'21,8"). Niðurstöður mælinga eru í töflum 2a og 2b. Í samningi var gert ráð fyrir einu sýni úr þeim hluta innflæðisins en ekki reyndist auðvelt að ná sýni af straumnum þar sem mest af honum kemur upp á nokkru dýpi. Þó var hægt að sjá svæði með grænum botnþörungagróðri á stöku stað með svæðum án gróðurs inn á milli. Það var túlkað sem innflæði á grunnvatni með meiri styrk næringarefna en í vatnsmegin Þingvallavatns. Því var ákveðið að taka tvö sýni til að geta betur metið val á sýnatökustað.

Niðurstöður úr mælingum sýnanna benda til þess að þau séu blanda af lindarvatni sem hefur svipaða aðalefnasamsetningu og Silfra og vatnsmegini Þingvallavatns í útfallinu (myndir 3.3 og myndir 8 - 10).

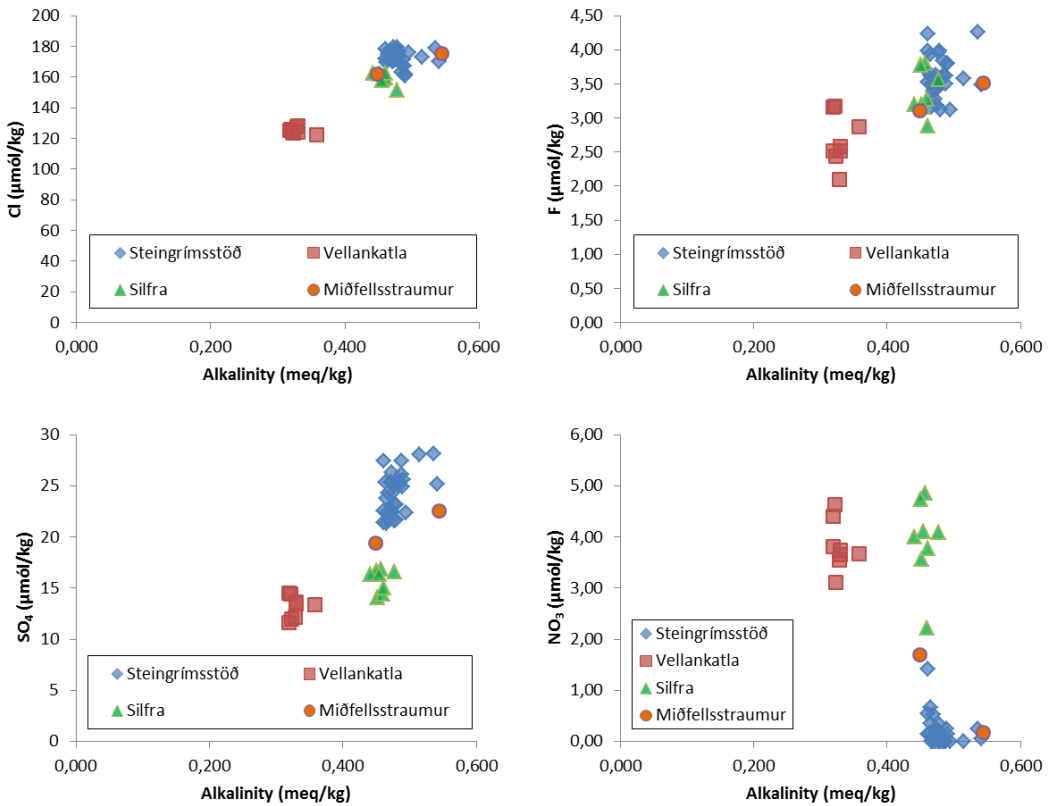


Mynd 3.2. Myndir af botngróðri á Miðfellssvæðinu. Efri t.v. botngróður vestan Miðfells þar sem sýni 14H007 var safnað. Efri t.h. lítill botngróður rétt sunnan Miðfells, engu sýni safnað þarna. Neðri t.h. og t.v. botngróður aðeins sunnan við Miðfell þar sem sýni 14H008 var safnað. Þykur skærgrænn þörungagróður einkennir söfnunarstaðinn.

Sýni 14H008 sem safnað var sunnan Miðfells er meira lindarvatn en sýni 14H007, sem var meira blandað. Sýni 14H008 var með hærra pH (9,01) sem er einkennandi fyrir grunnvatn á basaltvæðum. Stórgrytt var þar sem sýnið var tekið, sem skýldi söfnunarstaðnum á meðan söfnunarsvæði 14H007 var opið fyrir öldunni.

Styrkur NO_3 var lægri en í Silfru og Vellankötlu en hærri en í útfallinu. Líklegt er að næringarefnanám hafi farið fram á söfnunarstað ef marka má þörungagróðurinn á svæðinu. Styrkur NH_4 var undir greiningarmörkum eins og sýni úr lindum og útfalli Þingvallavatns undanfarin ár.

Mynd 8 sýnir að styrkur uppleystra aðalefna í sýni 14H008 var svipaður og í Silfru. Styrkur snefilefna (mynd 10) var hins vegar ólíkur, sérstaklega styrkur Mo, Al, Sr, Cr. Styrkur Mo og Sr var hærri í Miðfellsstraumi (sýni 14H008) en í Silfru en styrkur Al og Cr var lægri. Styrkur þessara efna í Miðfellsstraumi var líkari styrk þeirra í útfalli Þingvallavatns.



Mynd 3.3. Hlutföll alkalinity og anjóna í Silfru, Vellankötlu, Miðfellsstraumi og í útfalli Þingvallavatns. Hlutföllin benda til þess að Miðfellsstraumurinn sé blanda af lindarvatni líku vatninu í Silfru og vatnsmegini Þingvallavatns í útfallinu. Punkturinn sem er nær gagnasafninu úr Silfru er sýni 14H008, sem safnað var sunnan Miðfells.

3.1.5 Samanburður á útfalli Þingvallavatns og Sogi við Þrastarlund

Á myndum 6 og 7 eru bornar saman niðurstöður á mælingum á sýnum úr útfalli Þingvallavatns og Sogi við Þrastarlund. Samanburðurinn leiðir í ljós að styrkur uppleystra efna er mjög líkur á þessum söfnunarstöðum þrátt fyrir að vatnið í Sogi hafi farið í gegn um tvær virkjanir (Steingrímsstöð og Ljósafossstöð) og tvö önnur stöðuvötn (Úlfhljótsvatn og Álftavatn) á leið sinni að Þrastarlundi.

Hér eru nokkrir punktar varðandi niðurstöður úr Sogi og útfalli Þingvallavatns:

- pH gildi í Sogi fer hærra á sumrin sökum meiri ljóstillífunar sem orðið hefur í vatninu á leið sinni.
- Styrkur SiO_2 hefur lækkað á báðum sýnatökustöðum á rannsóknartímabilinu.
- Heildarstyrkur brennisteins (opnir hringir á SO_4 grafinu) var hærri en SO_4 á fyrri hluta tímabilsins og lækkaði svo á sama tíma niður að styrk SO_4 .
- P total hefur lækkað á báðum söfnunarstöðum.
- Styrkur NO_3 var hærri í Sogi en við Steingrímsstöð.
- Álstyrkur er hærri á sumrin í Sogi en við Steingrímsstöð vegna hærra pH gildis í Sogi.
- Styrkur járns og mangans er hærri í Sogi en Þingvallavatni.
- Styrkur Ba og Zn var hærri á fyrri hluta söfnunartímabilsins í útfallinu en lækkaði svo. Styrkur þessara efna var alltaf lágor í Sogi. Telst líklegt að hafi komið mengun úr Niskin sýnasafnaranum sem notaður var á fyrri hluta tímabilsins í Þingvallavatni við útfallið. Í seinni tíð hefur sýnum verið safnað í brúsa þar sem Niskin flaskan var alltaf að gleymst.
- Styrkur annarra aðal- og snefilefna var sambærilegur / nánast sá sami á söfnunarstöðunum.

3.2 Meðaltal uppleystra efna í innflæði og útflæði Þingvallavatns

Meðalstyrkur uppleystra efna í útfalli Þingvallavatns við Steingrímsstöð og í lindunum Silfru og Vellankötlu er að finna í Töflu 1 og á myndum 8 – 10. Á myndunum eru einnig sambærilegar upplýsingar um styrk efnanna í Sogi við Þrastarlund (Eydí Salome Eiríksdóttir o.fl. 2014). Niðurstöður mælinga á sýni 15H008 úr Miðfellsstaumi voru settar inn á myndir 8 til 10.

Alkalinity og meðalstyrkur Na, Ca, F, Cl og B í útfalli Þingvallavatns er svipaður eða lítillega hærri en í Silfru og hærra en í Vellankötlu. Hlutfall hreyfanlegu efnanna Cl og B (Stefán Arnórsson og Auður Andréasdóttir, 1995) í Silfru og í útfalli Þingvallavatns er svipað sem gefur til kynna að þau séu af sama uppruna. Þetta gefur til kynna að megnið af

vatninu í Þingvallavatni sé komið úr Silfru eða lindarvatni með svipaða efnasamsetningu og Silfra. Eins og kom fram í kafla 3.1.4 er Miðfellsstraumurinn líklega með svipaða aðalefnasamsetningu og Silfra, þó snefilefnin í Miðfellsstraumi og Silfru séu ólík.

Meðalgildi pH í lindunum Silfru og Vellankötlu er 9,34 og 9,26 sem er dæmigert fyrir lindavatn á basaltsvæðum sem er einangrað frá andrúmsloftinu. Meðalgildi pH í útfalli Þingvallavatns er 7,88 sem er lítillega lægra en í Soginu (Eydís Salome Eiríksdóttir o.fl. 2014; mynd 6). Heildarstyrkur uppleystra efna (TDS) og leiðni í Silfru og í útfallinu við Steingrímsstöð er svipaður en hann var lægri í Vellankötlu (Tafla 1). Styrkur aðalefnanna Na, Mg, Ca, SO₄ og Cl var hærri í Silfru en í Vellankötlu og þar liggur munurinn á heildarstyrk uppleystra efna (TDS) og leiðni í lindunum tveimur.

Styrkur klórs, brennisteins og magnesíums var hærri við útfallið en í lindunum sem bendir til ákomu þessara efna í vatnið með úrkomu, en einnig getur uppgufun valdið styrkaukningu í vatninu. Árný Sveinbjörnsdóttir og Sigfús Johnsen (1992) gerðu rannsókn á stöðugum samsætum súrefnis og vetrnis, sem eru viðkvæmar gagnvart uppgufun, á Þingvallasvæðinu og samkvæmt þeirra niðurstöðum er uppgufun lítil sem engin í Þingvallavatni. Meðalstyrkur klórs var 10% hærri við Steingrímsstöð en í Silfru og heildarstyrkur brennisteins (S total) var 53% hærri. Styrkur snefilefnanna Sr, Fe, og Mn var einnig hærri í útfallinu en í lindunum, hugsanlega vegna innstreymis með öðrum lindum á svæðinu eða athafna mannsins.

Meðalstyrkur næringarefna var lægri í útfallinu við Steingrímsstöð en í lindunum (Mynd 9). Það á sérstaklega við um styrk NO₃, sem var oftast við greiningarmörk í útfallinu en vel mælanlegt í lindunum. Þessi munur er vegna næringarefnanáms í Þingvallavatni.

Mynd 10 sýnir meðalstyrk ýmissa þungmálma og annarra snefilefna sem mældust fyrir ofan greiningarmörk. Meðalstyrkur málma var yfirleitt hærri í Silfru en í Vellankötlu. Sérstaklega var mikill munur á styrk Cr í lindunum en styrkur þess var að meðaltali 46 nmól/l í Silfru og 20 nmól/l í Vellankötlu. Krómstyrkur er líka hlutfallslega hár í Hvítá við Kljáfoss (meðaltal 23 nmol/l, Eydís Salome Eiríksdóttir o.fl. 2012) í Borgafirði. Vatnasvið Hvítár í Borgafirði nær upp í Langjökul líkt og vatnasvið Þingvallavatns og hugsanlega eru vatnasvið Hvítár og Silfru að taka vatn af svipuðu bergi. Styrkur snefilefna í Miðfellsstraumi var ólíkur snefilefnastyrk Silfru, sérstaklega styrkur Mo, Al, Sr, Cr. Styrkur Mo og Sr var hærri í Miðfellsstraumi en í Silfru en styrkur Al og Cr var lægri. Styrkur þessara efna í Miðfellsstraumi var líkari styrk þeirra í útfalli Þingvallavatns.

Hátt pH í vatninu sem streymir upp í Silfru og Vellankötlu skýrir háan styrk Al í lindunum en pH hefur mikil áhrif á leysni Al í vatni. Styrkur annarra málma, t.d. Cr, Ni, Ti og B er einnig háður pH gildi vatnsins og ýmist hækkar eða lækkar með hækkandi pH.

Styrkur Ba, Mn, Ti og Zn er hærri en breytilegur í Þingvallavatni við Steinþímsstöð en í lindunum (Mynd 8) á meðan Cr styrkur er langhæstur í Silfru. Þó er líklegt að hár styrkur Ba og Zn á fyrri hluta rannsóknartímabilsins sé til kominn vegna mengunar í sýnatökubúnaði, sjá umfjöllun í kafla 3.1.5.

Styrkur arsens, As, var oft undir greiningarmörkum og alltaf í Vellankötlu, en var haft með í þessarri samantekt þar sem mikið hefur bæst við af gögnum undanfarið um arsen og afdrif þess á Nesjavallasvæðinu (Bergur Sigfússon o.fl., 2011). Áður en farið var að dæla skiljuvatni frá Nesjavallavirkjun niður í djúpar borholur, rann það fyrst á yfirborði og leitaði síðan inn undir basísk jarðög á svæðinu. Þaðan sytraði vatnið í átt að Þingvallavatni. Uppleyst efni í vatni haga sér á ólíkan hátt þegar þau koma í snertingu við berg. Sum halda óáreitt áfram án þess að sjá bergið á meðan önnur fara að hafa samskipti við bergið, annað hvort verða efnaskipti eða að uppleystu efnin sogast að yfirborði bergsins. Klór frá skiljuvatni skilaði sér í Þingvallavatn nokkrum árum eftir að starfsemi Nesjavallavirkjunar hófst en arsen ásogast á yfirborð basaltsins á svæðinu og hægir það á streymi þess til Þingvallavatns. Líkanreikningar gera ráð fyrir að það muni byrja að skila sér í Þingvallavatn í kring um árið 2100 (Bergur Sigfússon o.fl. 2011). Efnagreining á arseni er erfið og hefur styrkur klórs í sýninu áhrif á greiningarmörk. Greiningarmörkin er því ekki alltaf þau sömu frá einu sýni til annars. Styrkur arsens í útfalli Þingvallavatns var neðan við greiningarmörk í 35% tilfella, As í sýnum úr Vellankötlu voru í öllum tilfellum undir greiningarmörkum og tvö sýni af sjö úr Silfru voru undir greiningarmörkum. Við gerð myndar 9 voru notuð gögn frá árunum frá 2008 til 2012 þar sem virðast hafa verið erfiðleikar í greiningu As í sýnum frá As (há greininarmörk). Þar sem sýni mældust undir greiningarmörkum voru tölugildi mælinganna notuð við reikningana á meðalstyrk. Þá sést að meðalstyrkur As í útfallinu við Steinþímsstöð er svipaður og í Silfru en lægri í Vellankötlu (mynd 8).

3.3 Samanburður við eldri gögn.

Árin 1975-1991 fór fram viðamikil rannsókn á Þingvallavatni (Jón Ólafsson, 1992). Þegar sýnum var safnað í írennsli og víða á Þingvallavatni (stöðvar 1 til 11) og á hverri stöð var safnað á mismunandi dýpi í vatninu. Gögn frá þessum tíma eru mikilvæg til samanburðar við þau gögn sem aflað hefur verið á þessu rannsóknartímabili.

Á mynd 11 hafa meðaltalsgögn úr rannsókninni frá árinu 1975 verið sett inn á tímaraðir úr núverandi rannsókn, þar sem sambærileg gögn voru til staðar. Þar má sjá að styrkur SiO_2 í útfallinu við Steingrímsstöð síðastliðin ár var lítillega hærri í upphafi núverandi vöktunar en hann var í eldri gögnum á þeirri söfnunarstöð sem var næst útfallinu 1975 (Stöð 1) en fer lækkandi. Styrkur PO_4 hefur einnig lækkað yfir rannsóknartímabilið og mælist nú lægri en hann gerði 1975. Styrkur NO_3 í útfallinu er sambærilegur við eldri niðurstöður Stöð 1 árið 1975.

Flosagjá er á sömu sprungurein og Silfra, aðeins ofar á vatnasviðinu, og er hér tekin til samanburðar við Silfru. Meðalgildi pH, Cl, Ca og PO_4 í sýnum úr núverandi rannsókn (nema alkalinity og Cl í sýninu frá 2014) voru sambærileg við niðurstöður mælinga í Flosagjá 1975. Alkalinity og styrkur Na er lægri í núverandi rannsókn en styrkur SiO_2 , Mg og NO_3 er hærri.

Samanburður á sýnum frá núverandi rannsóknartímbili við sýni sem safnað var úr Vellankötlu 1975 – 1981 er einnig sýndur á mynd 11. Gögnin úr Vellankötlu 1975 – 1981 eru meðaltalsgögn úr þremur lindum í Vatnsvík en nýrri gögnin eru fengin úr sprungu í klöpp, þeirri sömu og fóðrar Vellankötlu neðan vatnsborðs, um einum metra utan við ströndina (mynd 4). Gögnin úr Vellankötlu 1975 – 1981 falla alltaf á milli gagna úr Vellankötlu 2007 til 2014 og gagna úr útfallinu við Steingrímsstöð frá sama tíma (nema alkalinity og Cl í sýninu frá 2014). Nákvæm staðsetning sýnatökustaða í Vatnsvík (Jón Ólafsson, 1992) hefur ekki fengist staðfest. Það er freistandi að draga þá ályktun að eldri sýnin hafi verið blanda af Vellankötlu og vatni úr Þingvallavatni. Leikur að tölum gefur til kynna að 25% blöndun Þingvallavatns (útfallsvatns við Steingrímsstöð) við 75% Vellankötlu 2007 – 2012 gæti skyrt styrk SiO_2 , Na, K, Ca, Mg, Cl og alkalinity sem var í sýnum frá 1975 – 1982 þannig að ekki muni meiru en 9% á styrktölunum.

4. PAKKARORD

Umhverfisráðuneytið, Orkuveita Reykjavíkur, Þjóðgarðurinn á Þingvöllum og Landsvirkjun kostuðu rannsóknina og hafa fulltrúar hennar sýnt verkefninu mikinn áhuga og stuðning.

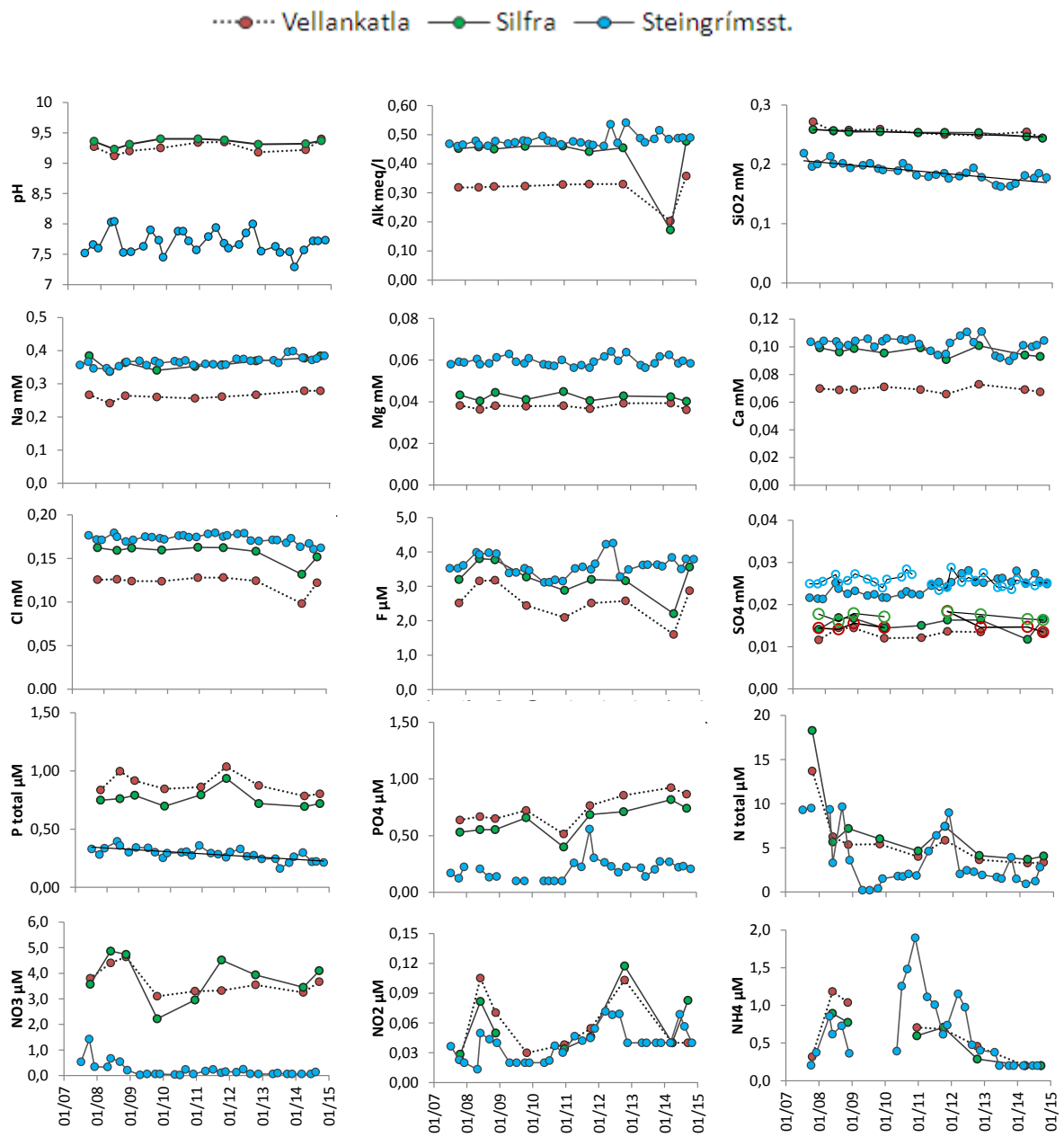
HEIMILDIR

- Árný E. Sveinbjörnsdóttir og Sigfús J. Johnsen 1992. Stable isotope study of the Thingvallavatn area. Groundwater origin, age and evaporation models. *Oikos*, 64, 136-150.
- Bergur Sigfusson, Sigurdur R. Gislason, Andrew A. Meharg 2011. A field and reactive transport model study of arsenic in a basaltic rock aquifer. *Applied Geochemistry*, 26, bls. 553-564
- Eydís Salome Eiríksdóttir, Sigurður Reynir Gíslason, Jórunn Harðardóttir, og Svava Björk Þorlaksdóttir, 2013. Efnasamsetning, rennsli og aurburður straumvatna á Suðurlandi XVI. Gagnagrunnur Jarðvísindastofnunar og Veðurstofunnar. RH-14-2013. 58 bls.
- Eydís Salome Eiríksdóttir og Árni Sigurðsson, 2014. Efnasamsetning úrkomu á Mjóanesi við Þingvallavatn 2008 – 2012. RH-01-2014, 45 bls.
- Eydís Salome Eiríksdóttir, Svava Björk Þorlaksdóttir, Jórunn Harðardóttir og Sigurður Reynir Gíslason, 2014. Efnasamsetning, rennsli og aurburður straumvatna á Suðurlandi XVII. Gagnagrunnur Jarðvísindastofnunar og Veðurstofunnar. RH-03-2014. 67 bls.
- Eugster, H. P. 1970. Chemistry and origin of the brines of Lake Magadi, Kenya. *Mineral. Soc. Am. Spec. Paper* 3, bls. 213-235. ^{Steingrímsstöð}
- Freysteinn Sigurðsson og Guttormur Sigbjarnason 2002. Grunnvatnið til Þingvallavatns. I: Þingvallavatn, undraheimur í mótun (ritstj. Pétur M. Jónasson og Páll Hersteinsson), Mál og menning, bls. 120 – 135
- Hardy, L. A. og Eugster, H. P. 1970. The evolution of closed-basin brines. *Mineral. Soc. Am. Spec. Pub.* 3, bls. 273-290.
- Hákon Aðalsteinsson, Pétur M. Jónasson og Sigurjón Rist, 1992. Physical characteristics of Thingvallavatn, Iceland. *Oikos*, 64, 121-135.
- Jones, B. F., Eugster H. P. og Rettig S. L. 1977. Hydrochemistry of the Lake Magadi basin, Kenya. *Geochim. Cosmochim. Acta*, 41, bls. 53-72.
- Jón Ólafsson 1992. Chemical characteristics and trace elements of Thingvallavatn. *Oikos* 64, bls 151-16
- Plummer, N.L., og Busenberg, E. 1982. The solubility of calcite, aragonite and vaterite in CO₂-H₂O solutions between 0 and 90°C, and an evaluation of the aqueous model for the system CaCO₃-CO₂-H₂O: *Geochimica et Cosmochimica Acta* 46, 1011 1040.
- Seðlabanki Íslands, 2012. <http://www.sedlabanki.is/?PageID=31>
- Stefán Arnórsson og Hörður Svaravsson, 1982. The chemistry of geothermal waters in Iceland. I. Calculation of aqueous speciation from 0°C to 370°C. *Geochimica et Cosmochimica Acta*, vol. 46, pp. 1513 - 1532.
- Stefán Arnórsson og Auður Andrésdóttir 1995. Processes controlling the distribution of boron and chlorine in natural waters in Iceland. *Geochimica et Cosmochimica Acta*, 59, 4125 – 4146.
- Sweeton R. H., Mesmer R. E. og Baes C. R. Jr. 1974. Acidity measurements at elevated temperatures. VII. Dissociation of water. *J. Soln. Chem.* 3, nr. 3 bls. 191-214.

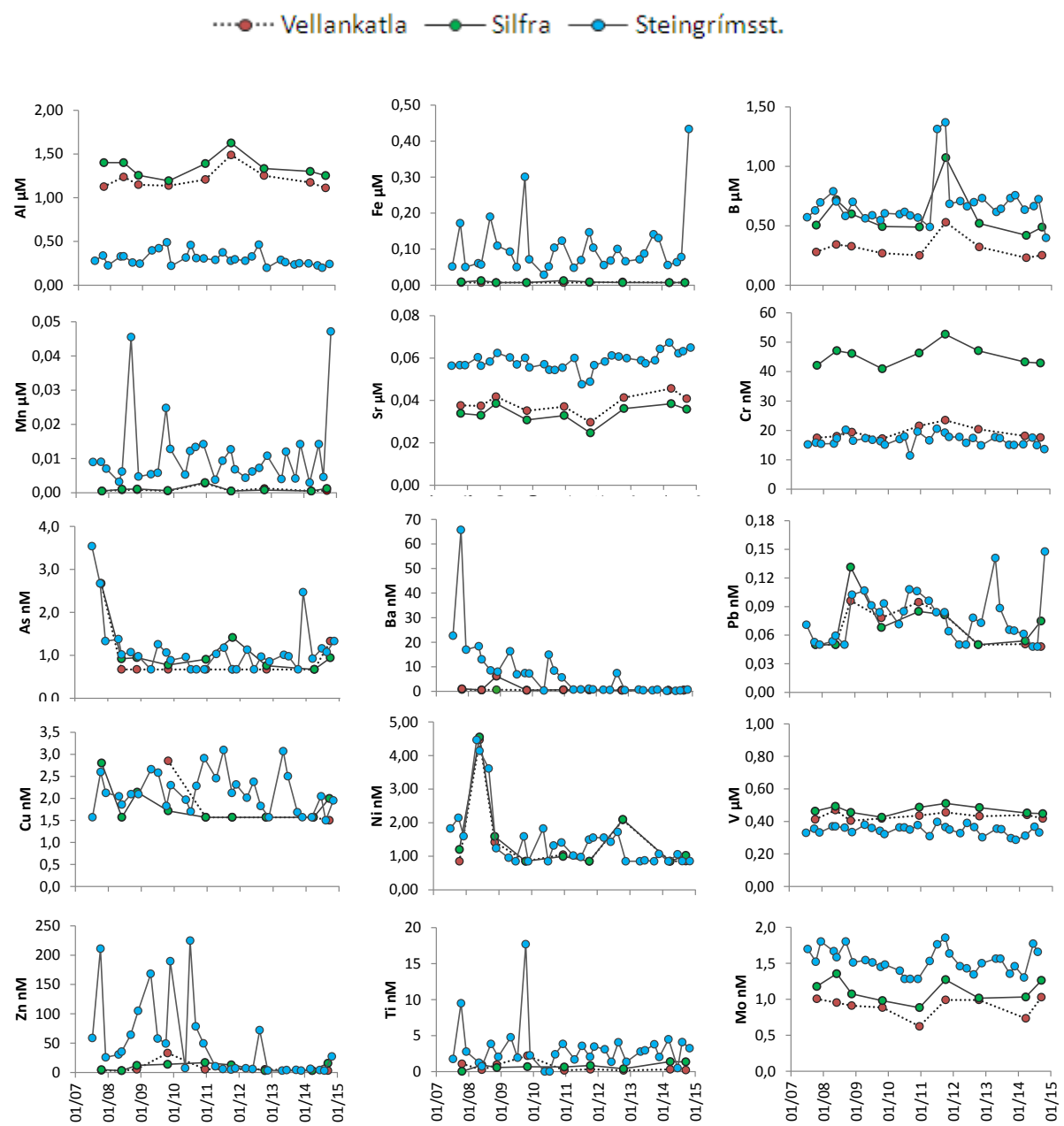
TÖFLUR OG MYNDIR

Tafla 1. Meðalstyrkur uppleystra efna í innstreymi og útrennsli Þingvallavatns. Reikningarnir eru byggðir á gögnum frá 2007 til 2014.

Staðsetning	Tímabil	n	Vatns-hiti °C	Loft-hiti °C	pH	T °C (pH/ leiðni)	Leiðni μS/sm	SiO ₂ μmól/l	Na μmól/l	K μmól/l	Ca μmól/l	Mg μeq./kg	Alkalinity μmól/l	DIC μmól/l	S-total μmól/l ICP-AES	SO ₄ μmól/l	δ ³⁴ S ‰	Cl μmól/l	F μmól/l	
Silfra, Þingvöllum	2007 - 2014	9	3,38	6,07	9,34	21,2	69,8	253	363	11,8	96,5	42,2	425	390	17,2	15,3	9,63	157	3,23	
Vellankatla, Þingvöllum	2007 - 2014	9	2,80	5,39	9,26	20,9	51,7	255	264	11,5	69,3	37,8	315	280	15,0	13,1	10,1	122	2,55	
Þingvallavatn, Steingrímsstöð	2007 - 2014	31	6,23	7,88	7,69	21,2	70,9	189	366	15,6	102	59,4	481	486	25,6	24,2	7,90	173	3,61	
<hr/>																				
Staðsetning	Tímabil	n	Hleðslu-jafnvægi	% skekkja	TDS reiknað	DIP	DOP	DIN	DON	DIN/DON										
Silfra, Þingvöllum	2007 - 2014	9	0,05	4,83	59,9	0,034	0,763	0,628	0,135	6,68	3,87	0,060	<0,482	<4,41	2,27	1,94				
Vellankatla, Þingvöllum	2007 - 2014	9	0,03	3,56	48,4	0,043	0,884	0,734	0,150	5,54	3,76	0,059	<0,599	<4,41	1,13	3,90				
Þingvallavatn, Steingrímsstöð	2007 - 2014	31	0,02	1,23	63,9	0,043	438,528	38,4	12,798	0,285	0,214	0,071	3,70	<0,216	<0,046	<0,616	<0,877	2,83	0,310	
<hr/>																				
Staðsetning	Tímabil	n	Al μmól/l	Fe μmól/l	B μmól/l	Mn μmól/l	Sr μmól/l	As nmól/l	Ba nmól/l	Cd nmól/l	Co nmól/l	Cr nmól/l	Cu nmól/l	Ni nmól/l	Pb nmól/l	Zn nmól/l	Hg nmól/l	Mo nmól/l	Ti nmól/l	V μmól/l
Silfra, Þingvöllum	2007 - 2014	9	1,35	<0,009	0,589	<0,001	0,034	<1,11	1,20	<0,018	<0,081	45,4	<1,83	<1,56	<0,072	<9,44	<0,010	1,12	<0,978	0,469
Vellankatla, Þingvöllum	2007 - 2014	9	1,21	<0,007	0,311	<0,001	0,039	<0,966	0,527	<0,018	<0,094	19,2	<1,70	<1,47	<0,067	<7,45	<0,010	0,902	0,623	0,432
Þingvallavatn, Steingrímsstöð	2007 - 2014	31	0,303	0,104	0,682	0,011	0,058	<1,15	7,64	<0,021	0,122	16,6	<2,14	<1,50	<0,078	<49,2	<0,010	1,53	3,33	0,345

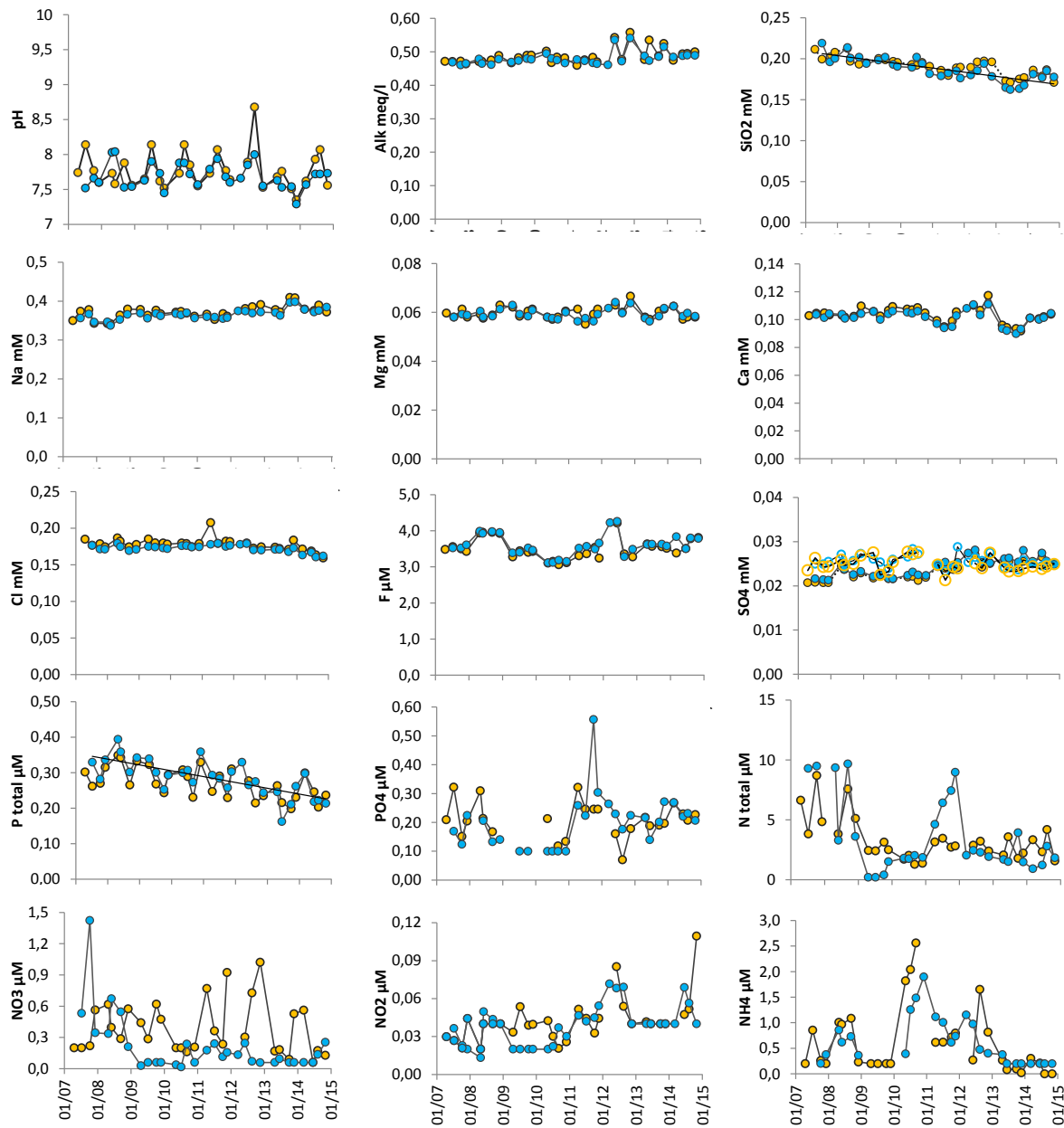


Mynd 4. Árstíðabundnar breytingar á basavirkni (Alk), pH og styrk uppleystra aðal- og næringarefna í inn- og útflæði Þingvallavatns. Söfnunarstaðirnir eru táknaðir með mismunandi lit. Blár: Útfall úr Þingvallavatni við Steingrimsstöð, Grænn: Silfra, Rauður: Vellankatla. Opnu hringirnir á SO₄ grafinu tákna heildarstyrk brennisteins.



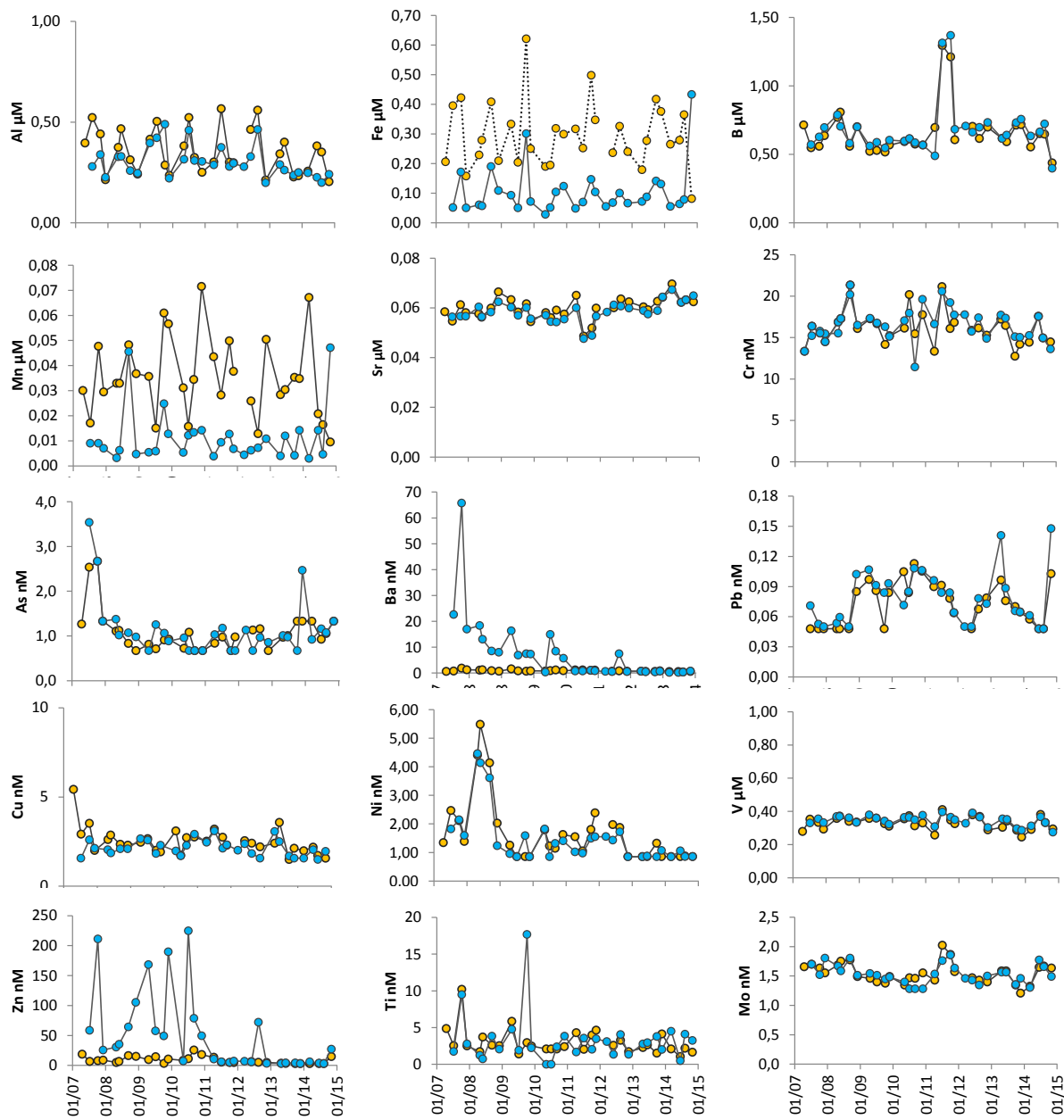
Mynd 5. Árstíðabundnar breytingar í styrk uppleystra snefilefna í inn- og útflæði Þingvallavatns. Söfnunarstaðirnir eru táknaðir með mismunandi lit. Blár: Útfall úr Þingvallavatni við Steingrimsstöð, Grænn: Silfra, Rauður: Vellankatla.

—○— Sog v. Þrastarlund —●— Steingrímsstöð

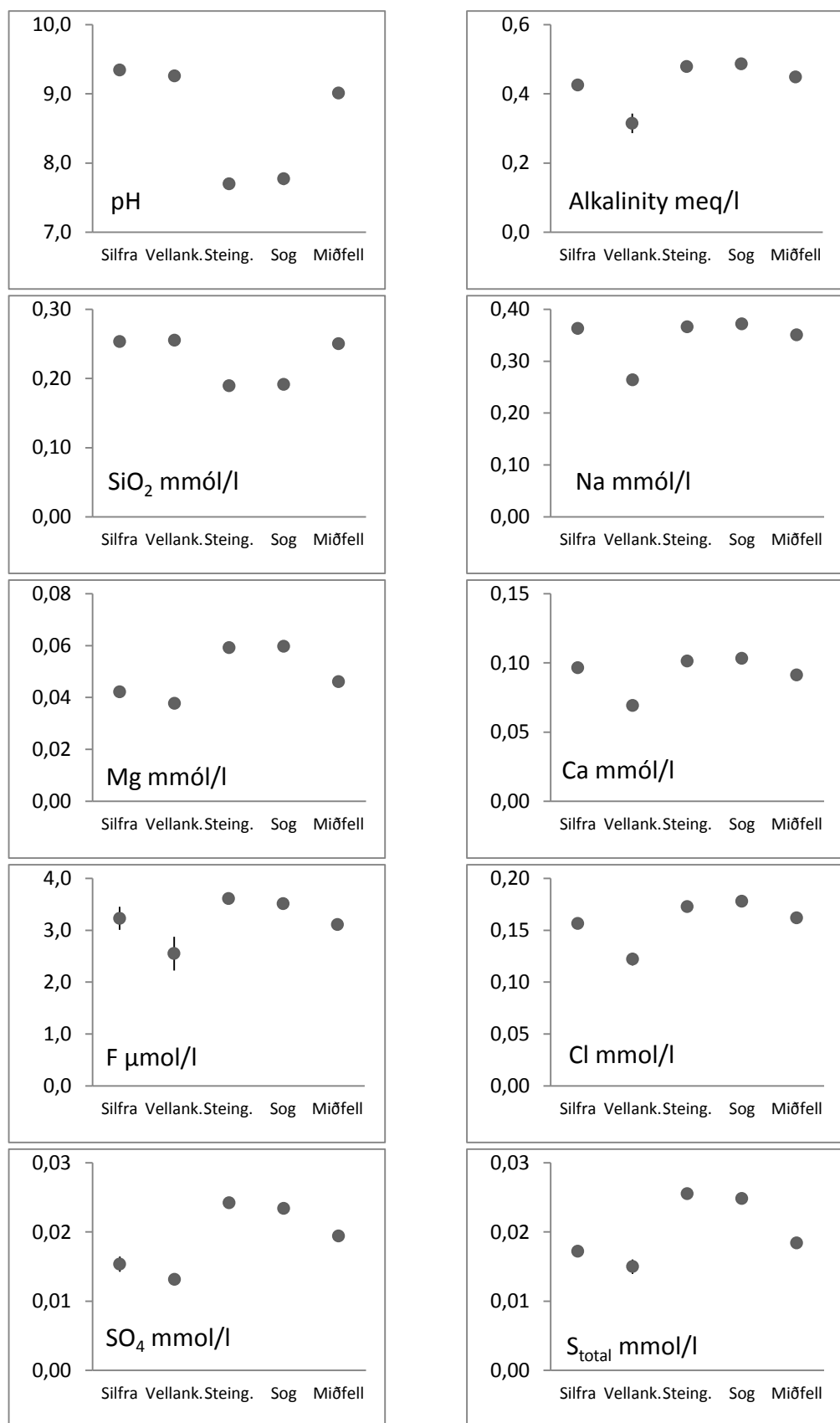


Mynd 6. Árstíðabundnar breytingar í styrk uppleystra aðalefna í útfalli Þingvallavatns við Steingrímsstöð og Sogi við Þrastarlund. Blár: Útfall úr Þingvallavatni við Steingrímsstöð, Gulur: Sog við Þrastarlund.

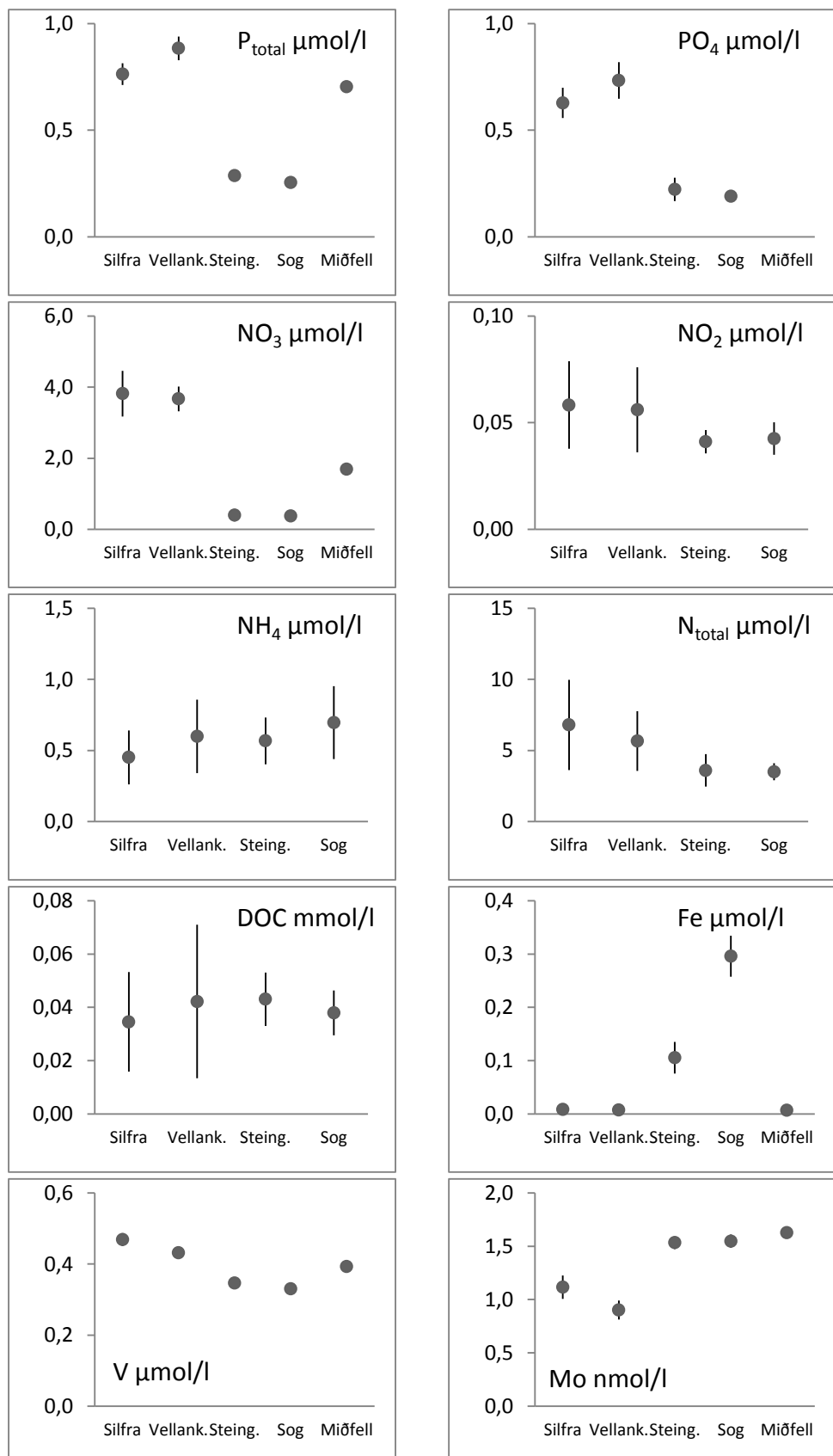
—○— Sog v. Þrastarlund —●— Steingrímsstöð



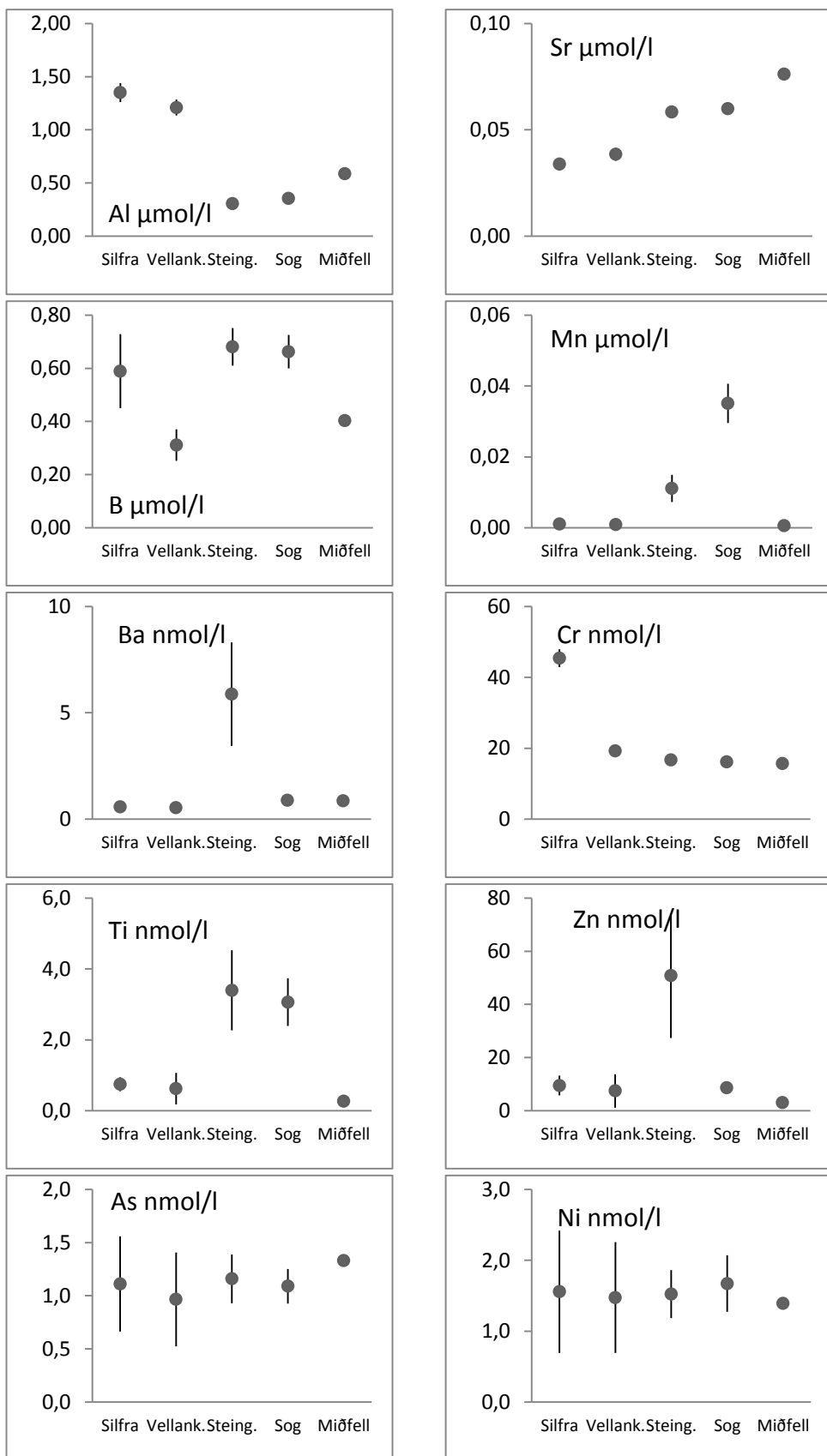
Mynd 7. Árstíðabundnar breytingar í styrk uppleystra snefilefna í útfalli Þingvallavatns við Steingrímsstöð og Sogi við Þrastarlund. Blár: Útfall úr Þingvallavatni við Steingrímsstöð, Gulur: Sog við Þrastarlund.



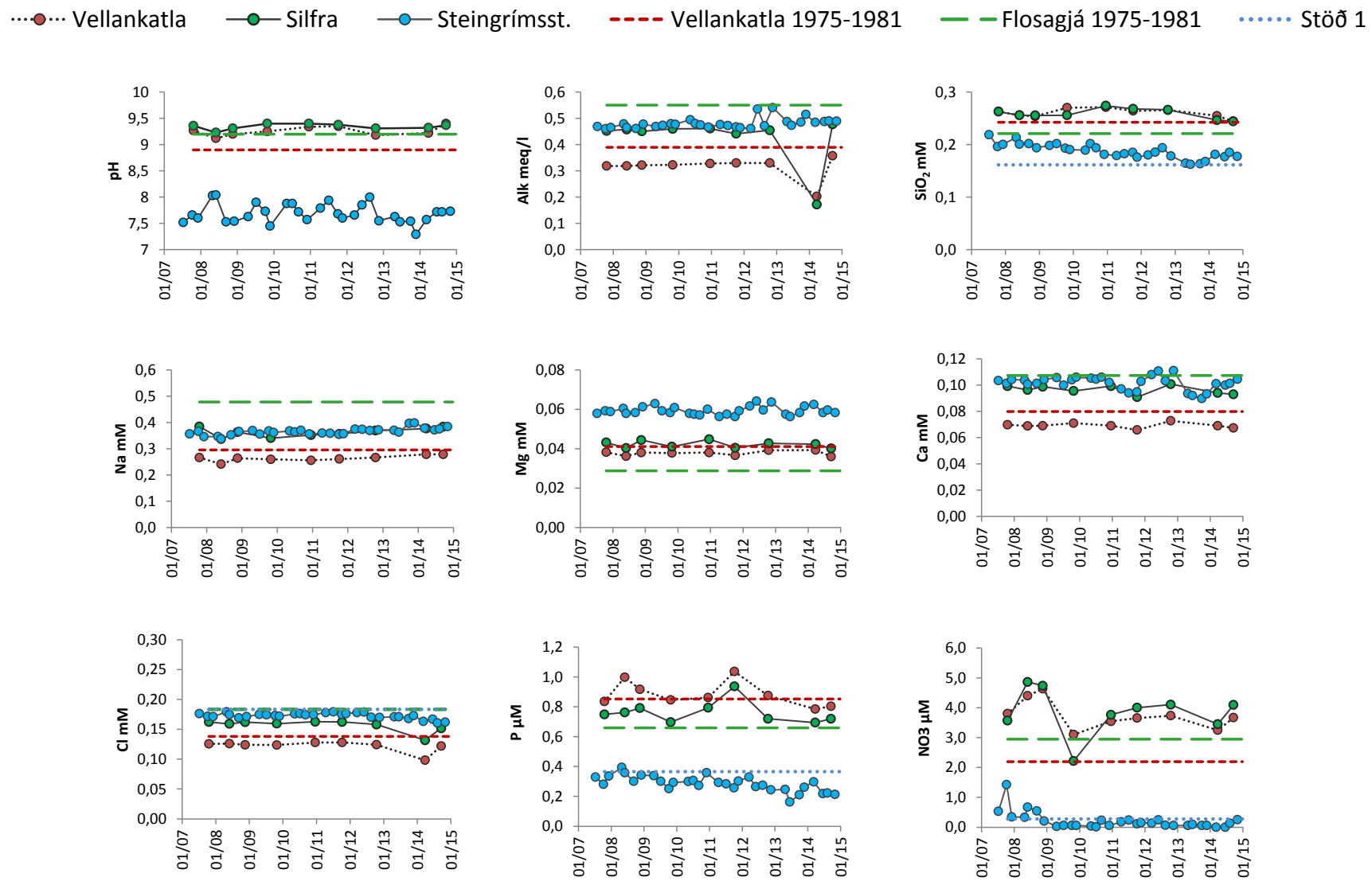
Mynd 8. Meðalstyrkur uppleystra aðalefna (með 95% öryggismörkum) úr innstreymi og útrennsli Þingvallavatns. Gögn úr Sogi við Þrastarlund frá 2007 til 2014 eru til samanburðar. Aðeins er eitt sýni úr Miðfallsstraumi, 15H008.



Mynd 9. Meðalstyrkur lífræns kolefnis og uppleystra næringarefna (með 95% öryggismörkum) úr innstreyymi og útrennsli Þingvallavatns. Gögn úr Sogi við Prastarlund frá 2007 til 2014 eru til samanburðar. Aðeins er eitt sýni úr Miðfellsstraumi, 15H008.



Mynd 10. Meðalstyrkur uppleystra þungmálma og annarra snefilefna (með 95% öryggismörkum) úr innstreyymi og útrennsli Þingvallavatns. Gögn úr Sogi við Prastarlund frá 2007 til 2013 eru til samanburðar. Aðeins er eitt sýni úr Miðfallsstraumi, 15H008.



Mynd 11. Samanburður á styrk uppleystra efna í sýnum frá 2007-2014 við gögn sem aflað var á árunum 1975 til 1991 úr Þingvallavatni og lindum sem renna í vatnið (Jón Ólafsson, 1992).

Tafla 4. Næmi efnagreiningaraðferða og hlutfallsleg skekkja mælinga.

Efni	Næmi µmól/l	Skekkja hlutfallsleg skekkja	Staðal frávik	ICP- SFMS	ICP- AES	AFS	IC	AA	Raf- skaut	Títrun	Auto analyser
Leiðni		± 1,0									
T°C		± 0,1									x
pH		± 0,05									
SiO ₂ ICP-AES (RH)	1,66	2,00%	1,8								x
SiO ₂ ICP-AES	1	4%			x						
Na ICP-AES (RH)	0,435	3,30%	2,8				x				
Na ICP-AES	4,35	4%			x						
K Jónaskilja (RH)	1,28	3%									
K ICP-AES (RH)	12,8										
K ICP-AES (SGAB)	10,2	4%			x						
K AA	1,1	4%									
Ca ICP-AES (RH)	0,025	2,60%	1,6			x					
Ca ICP-AES	2,5	4%			x						
Mg ICP-AES (RH)	0,206	1,60%	1,6								
Mg ICP-AES	3,7	4%			x						
Alk.		3%								x	
CO ₂		3%					x				
SO ₄ ICP-AES (RH)	10,4	10%	8,2								
SO ₄ HPCL	0,52	5%									
SO ₄ ICP-AES	1,67	15%			x						
Cl	28,2	5%				x					
F	1,05	1,05-1,58 µmól/l ±10% >1,58µmól/l ±3%				x					
P ICP-MS (SGAB)	0,032	3%			x						
P-PO ₄	0,065	0,065-0,484 µmól/l ±1 µmól/l >0,484 µmól/l ±5%								x	
N-NO ₂	0,04	0,040-0,214 µmól/l ±0,014 µmól/l >0,214 µmól/l ±5%								x	
N-NO ₃	0,143	0,142-0,714 µmól/l ±0,071 µmól/l >0,714 µmól/l ±10%								x	
N-NH ₄	0,2	10%								x	
Al ICP-AES (RH)	0,371	3,80%	3,2								
B ICP-AES (SGAB)	0,925				x						
B ICP-MS (SGAB)	0,037										
Sr ICP-AES (RH)	0,023	15%									
Sr ICP-MS (SGAB)	0,023	4%			x						
Ti ICP-MS (SGAB)	0,002	4%			x						
Fe ICP-AES (RH)	0,358	12%	15								
Fe ICP-AES (SGAB)	0,143	10%			x						
Mn ICP-AES (RH)	0,109	26%	24								
nmól/l											
Mn ICP-MS (SGAB)	0,546	8%			x						
Al ICP-MS (SGAB)	7,412	12%			x						
As ICP-MS (SGAB)	0,667	9%			x						
Cr ICP-MS (SGAB)	0,192	9%			x						
Ba ICP-MS (SGAB)	0,073	6%			x						
Fe ICP-MS (SGAB)	7,162	4%			x						
Co ICP-MS (SGAB)	0,058	8%			x						
Ni ICP-MS (SGAB)	0,852	8%			x						
Cu ICP-MS (SGAB)	1,574	8%			x						
Efni	Næmi µmól/l	Skekkja hlutfallsleg skekkja	Staðal frávik	ICP- SFMS	ICP- AES	AFS	IC	AA	Raf- skaut	Títrun	Auto analyser
Zn ICP-MS (SGAB)	3,059	12%		x							
Mo ICP-MS (SGAB)	0,521	12%		x							
Cd ICP-MS (SGAB)	0,018	9%		x							
Hg ICP-AF (SGAB)	0,01	4%				x					
Pb ICP-MS (SGAB)	0,048	8%			x						
V ICP-MS (SGAB)	0,098	5%			x						
Th ICP-MS (SGAB)	0,039			x							
U ICP-MS (SGAB)	0,002	12%		x							
Sn ICP-MS (SGAB)	0,421	10%		x							
Sb ICP-MS (SGAB)	0,082	15%		x							

ICP-SFMS: Inductively Coupled Plasma Mass Spectrometry

ICP-AES: Inductively coupled plasma optical emission

AFS: Atomic Fluorcence

IC2000 Ion Chromatograph Dionex 2000

AA: Atomic adsorption